

I - 6

任意形孔をもつ任意形板の座屈荷重算定法

九州大学 正員 山崎徳也
 ” 学生員 ○後藤恵之輔

1. 序

有孔有限板の座屈荷重は座屈の際の平衡方程式およびすべての境界条件を満足する薄板のたわみ波形が求めれば正しく決定される。しかし、かかるたわみ波形を求むることに極めて困難であるゆえ、通常は境界条件のみを満足するたわみ波形を仮定してエネルギー法¹⁾によるか、あるいは対象とする板を幾つかの要素に分割して Finite Element Method²⁾により座屈荷重の近似値を決定している。

他方、最近の電子計算機の発達に伴つてポイントマッキング法³⁾が固有値問題の近似解法として注目されるようになり、これによつて孔が無い円板や三角形板、正方形板および六角形板の座屈問題⁴⁾が解かれているが、ポイントマッキング法はエネルギー法および Finite Element Method に比較して少量の計算で任意形板の座屈荷重を求めるという利点もある。

そこで著者らは有孔有限板において孔が小さいばく、孔の無い場合の平衡方程式が近似的に成立することに着目して、ここにポイントマッキング法による小さな任意形孔をもつ任意形板の座屈荷重算定法を提示するものである。解法は中心に円孔を有する周辺固定、孔縁自由の正方形板について説明し、精度も吟味する意味でエネルギー法による別法を併せて示すこととする。

2. 座屈荷重算定法

図-1に示すごとく中心に円孔を有する正方形板が二次元静水圧もうけるとき、孔径($2R$)が正方形板の辺長($2a$)に比較して小さな場合には、応力集中は孔縁の極く近傍においてのみ起り、その他の部分は孔の無い場合の応力状態に等しいと考えうる。したがつて、二次元静水圧もうける孔無し正方形板の平衡方程式の一般解を用いて、比較的小さな円孔を有する正方形板の座屈荷重がポイントマッキング法により容易に算定されうこととなる。

一般に、孔無しの薄板が二次元静水圧もうける場合の平衡方程式は周知のごとく極座標により、次式で与えられる。

$$\Delta(\Delta + k^2)W = 0 \quad \dots \dots \dots (1)$$

$$\text{ここに } \Delta = \frac{\partial^2}{\partial r^2} + \frac{1}{r} \frac{\partial}{\partial r} + \frac{1}{r^2} \frac{\partial^2}{\partial \theta^2}$$

$k^2 = St/D$, S : 単位面積当たりの静水圧, t : 板厚, D : 板の曲げ剛性
 W : 薄板のたわみ

式(1)の一般解は $W = f(r) \cos n\theta$ として次式のごとく決定される。

$$W = \sum_{n=0}^{\infty} [A_n J_n(kr) + B_n Y_n(kr) + C_n (kr)^n + D_n (kr)^{-n}] \cos n\theta \quad \dots \dots \dots (2)$$

ここに J_n , Y_n はモード第 n 種およびオーディ n 種の Bessel 級数、 $A_n \sim D_n$ は補元条件より決定される未定係数で $n = 0, 1, 2, \dots$ である。

したがつて、図-1のごとく円孔を有する正方形板のたわみは対称条件を考慮して式(2)を用いて

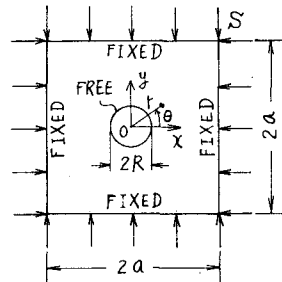


図-1

的に次式で表わされる。

$$w = A J_0(kr) + B Y_0(kr) + C + D J_4(kr) \cos 4\theta + E Y_4(kr) \cos 4\theta \\ + F(kr)^4 \cos 4\theta + G(Rr)^4 \cos 4\theta + \dots \quad (3)$$

一方、周辺固定、孔縁自由であるゆえ、境界条件として次式が成立する。

周辺において $w = \frac{\partial w}{\partial r} = 0 \quad (4)$

孔縁において $M_r = Q_r - \frac{1}{r} \frac{\partial M_{r\theta}}{\partial \theta} = 0 \quad (5)$

ここに $M_r = -D \left\{ \frac{\partial^2 w}{\partial r^2} + D \left(\frac{1}{r} \frac{\partial w}{\partial r} + \frac{1}{r^2} \frac{\partial^2 w}{\partial \theta^2} \right) \right\}$

$M_{r\theta} = (1-D) D \frac{1}{r} \left(\frac{\partial^2 w}{\partial r \partial \theta} - \frac{1}{r} \frac{\partial w}{\partial \theta} \right)$

$Q_r = -D \frac{\partial}{\partial r} \left(\frac{\partial^2 w}{\partial r^2} + \frac{1}{r} \frac{\partial w}{\partial r} + \frac{1}{r^2} \frac{\partial^2 w}{\partial \theta^2} \right)$

D : ポアソン比

式(3)も式(4), (5)も代入することにより係数A, B, C, ……が決定されるわけであるが、本論では図-2に示すごとく周辺および孔縁ともに3個の点において境界条件を満足させることとする（この6個のboundary pointsは技術条件により板全体では計32個となる）。この結果、式(3)の未定係数を決定する式が次のとくえられることがある。

$$\begin{bmatrix} a_{11} & a_{12} & 1 & a_{14} & \dots & a_{112} \\ a_{21} & a_{22} & 0 & a_{24} & \dots & a_{212} \\ a_{31} & a_{32} & 1 & 0 & \dots & 0 \\ a_{41} & a_{42} & 0 & 0 & \dots & 0 \\ \vdots & \vdots & & \vdots & & \vdots \\ a_{121} & a_{122} & 0 & a_{124} & \dots & a_{1212} \end{bmatrix} \begin{bmatrix} A \\ B \\ C \\ D \\ \vdots \\ L \end{bmatrix} = \begin{bmatrix} 0 \\ 0 \\ 0 \\ 0 \\ \vdots \\ 0 \end{bmatrix} \quad (6)$$

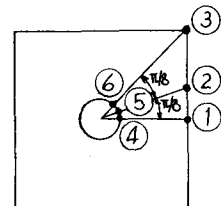


図-2

ここに $a_{11} = J_0(ka)$, $a_{12} = Y_0(ka)$, $a_{14} = J_4(ka)$, \dots , $a_{112} = J_{12}(ka)$,

$a_{21} = ka \cdot J'_0(ka)$, $a_{22} = ka \cdot Y_0(ka)$, $a_{24} = ka \cdot J_4(ka)$, \dots , $a_{212} = ka \cdot J'_{12}(ka)$,

$a_{31} = J_0(ka \cdot \text{rect}\pi/8)$, $a_{32} = Y_0(ka \cdot \text{rect}\pi/8)$, \dots ,

$a_{41} = (\mu ka)^3 J_0''(\mu ka) + (\mu ka)^3 J_0(\mu ka) - \mu ka \cdot J'_0(\mu ka)$, \dots , $\mu = R/a$

式(6)の連立方程式が a_{mn} ($m, n = 1 \sim 12$) の 0 でない有限な解に対して成立するためには、その係数行列式が 0 に等しいべく、この行列式より所要の固有値 R がえられ、したがってこの決定された R を用いて座屈荷重 S_{cr} が次式のごとく求められる。

$$S_{cr} = \bar{R}^2 \frac{D}{a^4} \quad (7)$$

ここに $\bar{R} = ka$

なお、決定された R の値を a_{mn} に代入することにより座屈の際の薄板の主ねじ波形が求められる。

3. エネルギー法について

前節で述べたポイントマッピング法による座屈荷重算定法の精度を吟味する意味で、広く用いられているエネルギー法を本問題に適用すれば以下のとくである。

板の曲げによる歪みエネルギーおよび座屈の際に応力のなす仕事を示せば V 、 T とすれば、これらは次式で与えられる。

$$V = \frac{D}{2} \iint_{\text{surface}} \left[\left(\frac{\partial^2 w}{\partial x^2} + \frac{\partial^2 w}{\partial y^2} \right)^2 - 2(1-\nu) \left(\frac{\partial^2 w}{\partial x^2} \frac{\partial^2 w}{\partial y^2} - \left(\frac{\partial^2 w}{\partial xy} \right)^2 \right) \right] dx dy \quad (8)$$

$$T = \frac{St}{2} \iint_{\text{surface}} \left\{ \frac{\partial x}{S} \left(\frac{\partial w}{\partial x} \right)^2 + 2 \frac{\partial x}{S} \frac{\partial w}{\partial x} \frac{\partial w}{\partial y} + \frac{\partial y}{S} \left(\frac{\partial w}{\partial y} \right)^2 \right\} dx dy \quad (9)$$

ここに直角座標における応力成分 σ_x , σ_y および τ_{xy} は式(10)で表される極座標の応力成分 σ_r , σ_θ , $\tau_{r\theta}$ と式(11)の変換公式とにより $r=R$ として次のとく求められる。すなはち

$$\text{応力成分: } \sigma_r = S(1-r_i^2), \sigma_\theta = S(1+r_i^2), \tau_{r\theta} = 0 \quad (10)$$

$$\begin{aligned} \text{変換公式: } & \left. \begin{aligned} \sigma_x &= \sigma_r \cos^2 \theta + \sigma_\theta \sin^2 \theta - \tau_{r\theta} \sin 2\theta \\ \sigma_y &= \sigma_r \sin^2 \theta + \sigma_\theta \cos^2 \theta + \tau_{r\theta} \sin 2\theta \\ \tau_{xy} &= \frac{(\sigma_r - \sigma_\theta)}{2} \sin 2\theta + \tau_{r\theta} \cos 2\theta \end{aligned} \right\} \quad (11) \end{aligned}$$

式(10)を式(11)に代入すれば式(9)中の応力 σ_x , σ_y , τ_{xy} は次式となる。

$$\begin{aligned} \sigma_x &= S(1-r_i^2 \cos 2\theta) \\ \sigma_y &= S(1+r_i^2 \cos 2\theta) \\ \tau_{xy} &= -S \cdot r_i^2 \sin 2\theta \end{aligned} \quad (12)$$

座屈荷重 S_{cr} は、境界条件のみを満足するたわみ波形 w を仮定して、これも式(8)および式(9)のエキルギー式に代入し、さらに式(12)の応力系を式(1)に代入のうえ、式(8)と式(9)を等置することによって直ちに決定されることとなる。なお、 w を仮定する場合、座屈荷重が最小となるように仮定することを物語る。

図-1のとく中心に円孔を有する正方形板の座屈形式としては、対称的に対称座屈が考えられるゆえ、次のたわみ波形を仮定する。

$$w = w_0 \left\{ \cos^2 \pi x_1 \cos^2 \pi y_1 + b e^{-c(x_1^2+y_1^2)} \right\} \quad (13)$$

ここに w_0 は unit deflection, $x_1 = x/a$, $y_1 = y/a$ で係数 b , c は孔縁の境界条件より決定される定数である。しかるに孔径は正方形板の辺長に比較して小であるゆえ、孔縁近傍において式(13)は $r_2=r/a$ として次のとく変形される。

$$w = w_0 \left(1 - \pi^2 r_2^2 + b e^{-c r_2^2} \right) \quad (14)$$

式(14)を孔縁の境界条件式(5)に代入すれば、係数 b やび c の決定式が次のとくえられる。

$$\begin{aligned} \log b &= 2 \log(R/a) + 1.2444 = 2 \log \mu + 1.2444 \\ c &= 2/(R/a)^2 = 2/\mu^2 \end{aligned} \quad (15)$$

式(5)より μ の各値につき b , c を求めれば表-1のとくで、(1)中の数字は式(13)を r_2 のヤキ級数ではなく Bessel 級数を用ひて変形した熊井教授の値である(文献(1)参照)。

表-1 係数 b , c の値 ($\nu=0.3$)

$\mu=R/a$	b	c
0.05	0.04389 (0.0925)	800.0 (810.39)
0.10	0.1756 (0.1860)	200.0 (208.69)
0.15	0.3950 (0.2802)	88.89 (102.0)
0.20	0.7023 (0.3731)	50.00 (67.30)
0.25	1.097 (0.4789)	32.00 (58.52)
0.30	1.580 (—)	22.22 (—)

表-1 より容易に判断されるごとく、 b が1より小であるか、あるいは1と比較しうる程度の値であるのに対し、 c は1より極めて大きき値である。したがって、正方形板の周辺近傍においては、式(13)の第2項は第1項に比して無視することができ、式(13)のたわみ波形は周辺の境界条件式(4)も満足することとなる。よって式(12)の応力系と式(13)のたわみ波形とも式(8)、(9)のエネルギー式に代入し、Gauss法などの数値積分法を用ひてV, Tを計算し、これらを等置することにより所要の座屈荷重 S_0 が求められるのである。

4. 結び

以上、ポイントマッキング法による任意形孔をもつ任意形板の座屈荷重算定法およびこの精度を吟味するためのエネルギー法による算定法も、中心に円孔を有する周辺固定、孔縁自由の正方形板について説明した。エネルギー法では式(8), (9)で表わされる歪みエネルギーおよび応力のなす仕事の数値積分がかなり煩雑と招來するのに対し、ポイントマッキング法ではBessel級数のサブルートンを利用することにより電子計算機を用いた行列式の演算のみで座屈荷重も決定しうることが容易に知られよう。ポイントマッキング法による種々の孔、たとえば円孔、正方形孔、正八角形孔なども有する正方形板を初めとする各種形状板について座屈荷重が境界条件によりいかに変化するかも現在計算中であり、これについては後日、稿を改めて発表する所存である。

最後に有益なる御助言を賜った本学応用力学研究所熊井豊二教授に厚く謝意を表するとともに、本研究には文部省科学研究費の補助をうけたことを付記する。

参考文献

- 1) T. Kumai : Elastic Stability of the Square Plate With a Central Circular Hole under Edge Thrust, Rep. Res. Inst. Appl. Mech., Kyushu Univ., Vol. I, No. 2, 1952.
吉誠稚夫他：有孔板の座屈強度について（その1），造船協会論文集，第122号，昭和42年12月。
- 2) R.G. Anderson, B.M. Irons and O.C. Zienkiewicz : Vibration and Stability of Plates Using Finite Elements, Intern. Journ. Solids and Structures, Vol. 4, No. 10, Oct. 1968.
- 3) J. Barta : Über die nähерungsweise Lösung einiger zweidimensionaler Elastizitätsaufgaben, Z.A.M.M., Bd. 17, 1937.
- 4) H.D. Conway and A.W. Leissa : A Method for Investigating Certain Eigenvalue Problems of the Buckling and Vibration of Plates, Journ. Appl. Mech., Vol. 27, No. 3, Sept. 1960.
H.D. Conway : The Bending, Buckling, and Flexural Vibration of Simply Supported Polygonal Plates by Point-Matching, Journ. Appl. Mech., Vol. 28, No. 2, Jun. 1961.